

FIG. 1

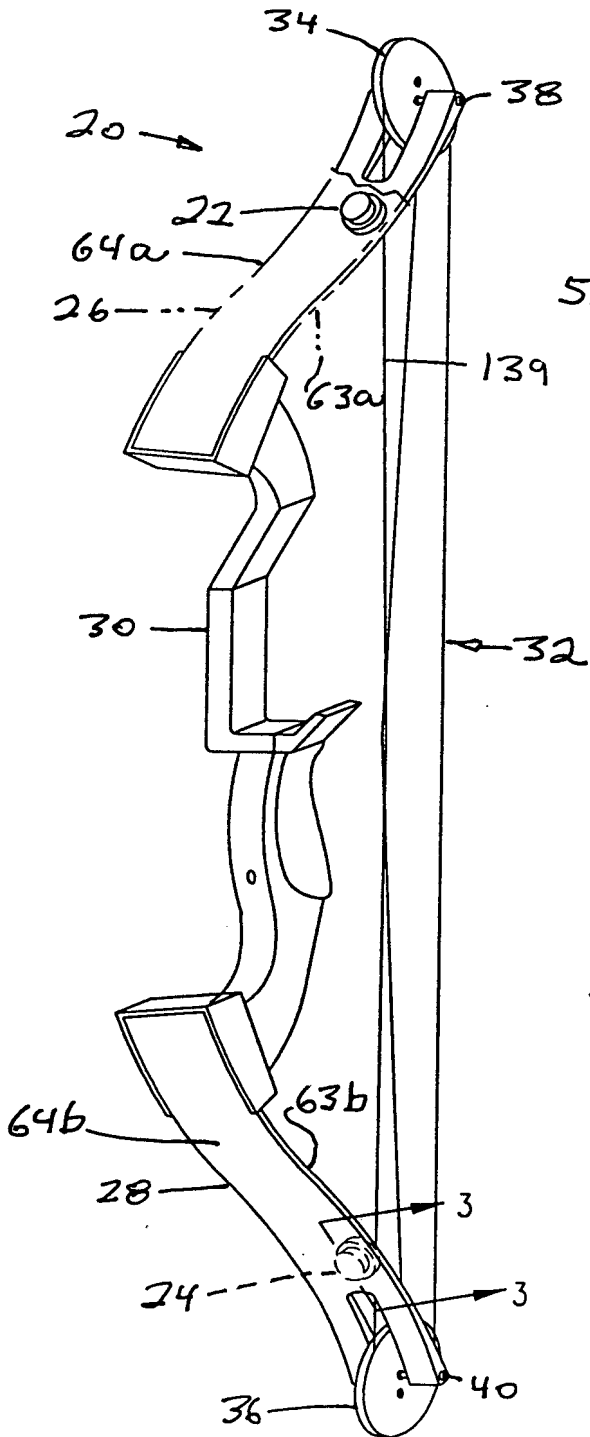


FIG. 2

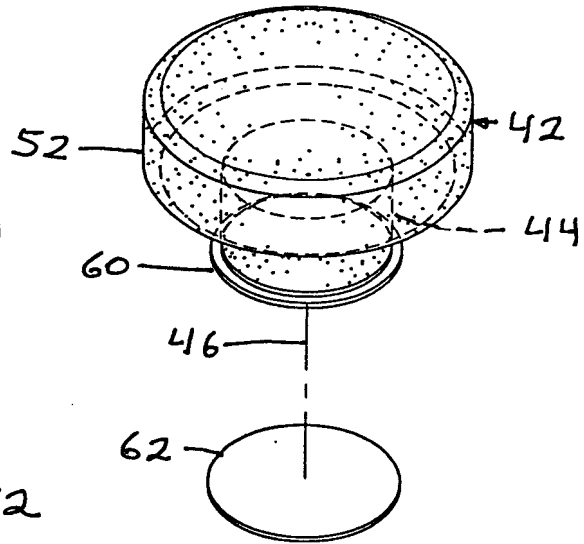
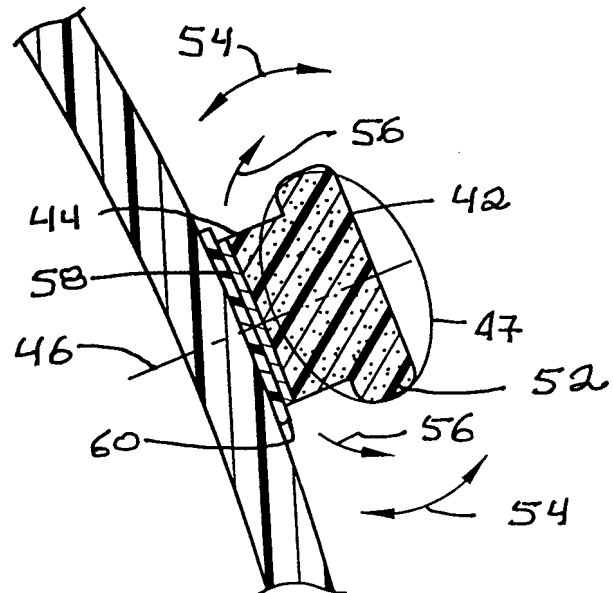


FIG. 3



009070-1268460

FIG. 5

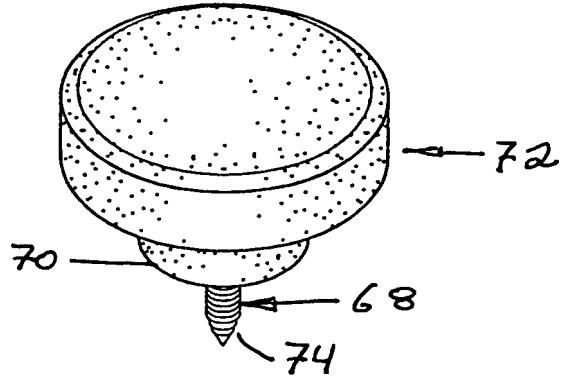


FIG. 4

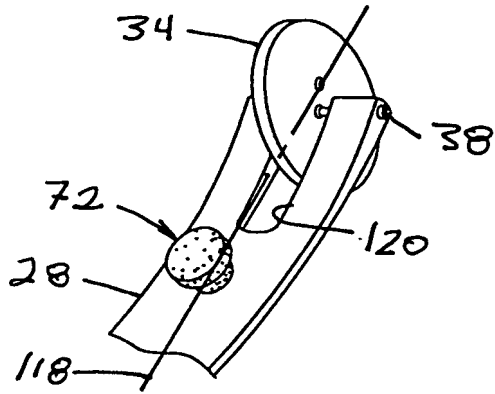


FIG. 7

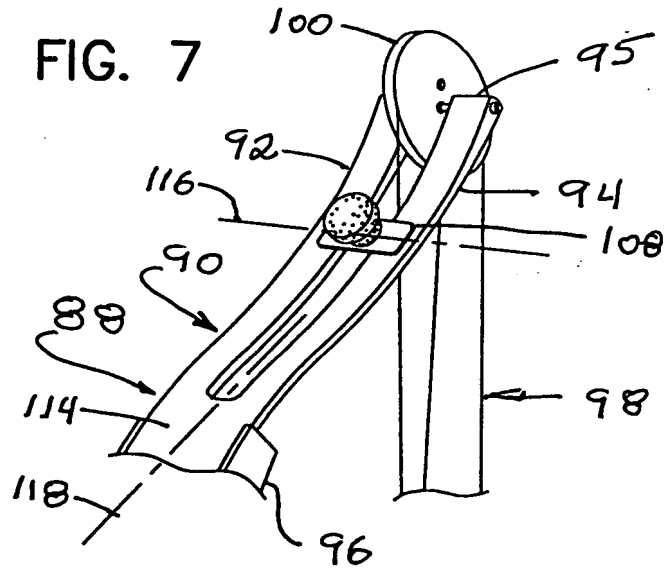


FIG. 6

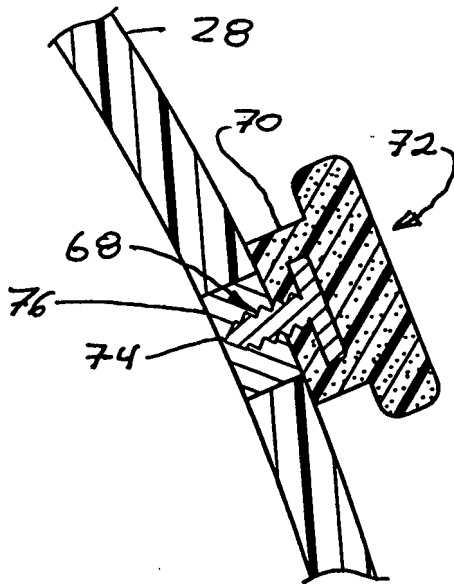


FIG. 8

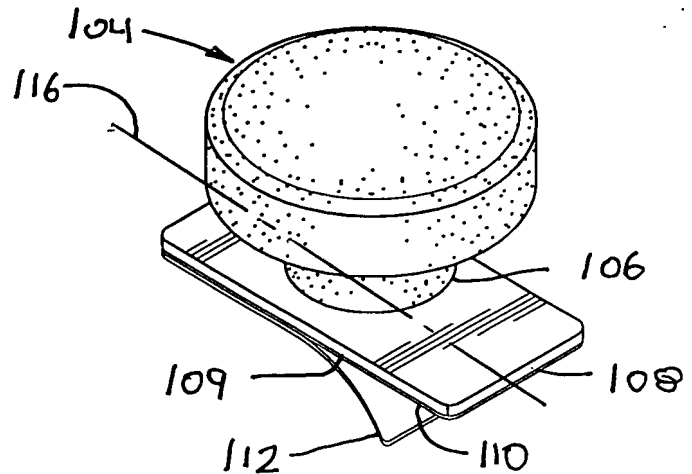


FIG. 9

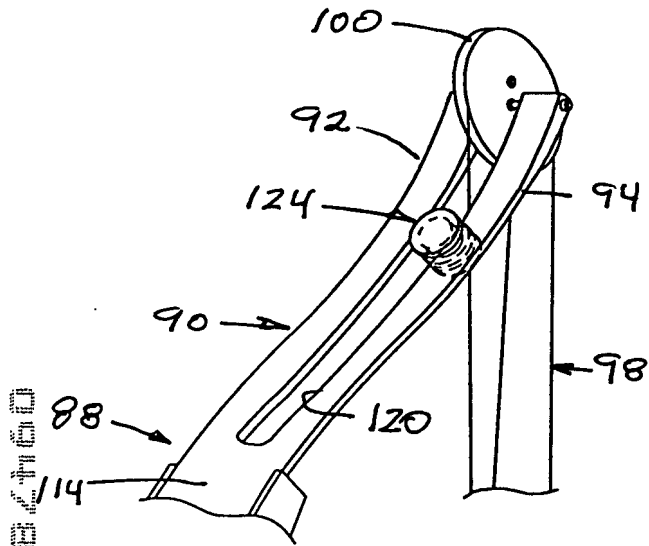


FIG. 10

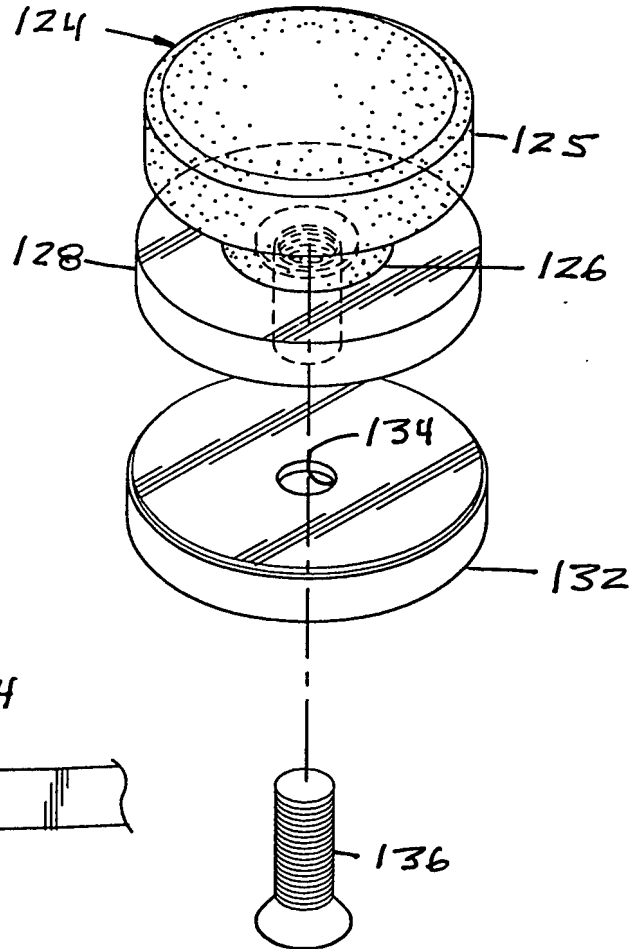


FIG. 11

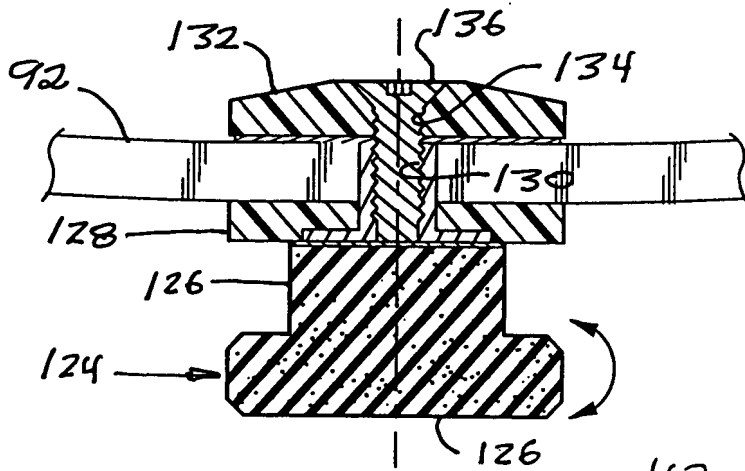


FIG. 14

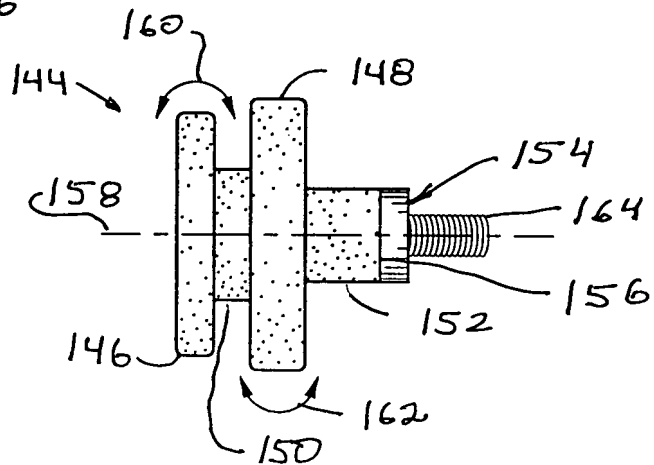


FIG. 12

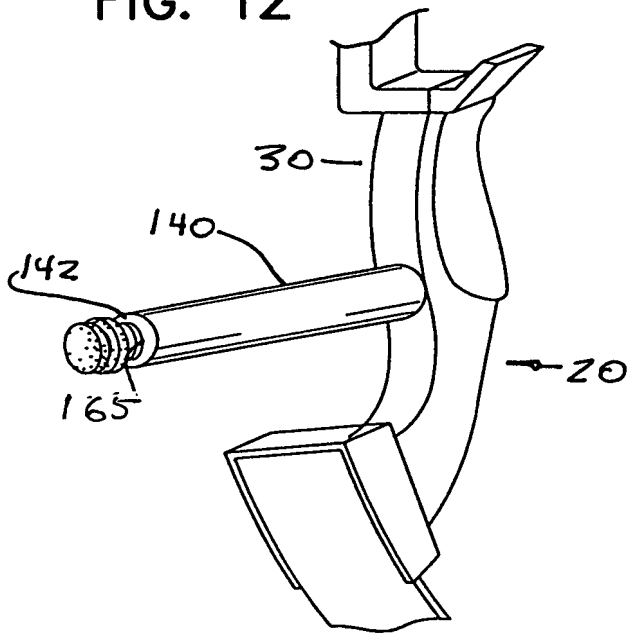


FIG. 13

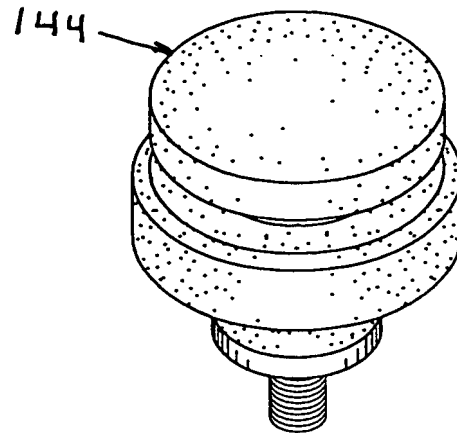


FIG. 15

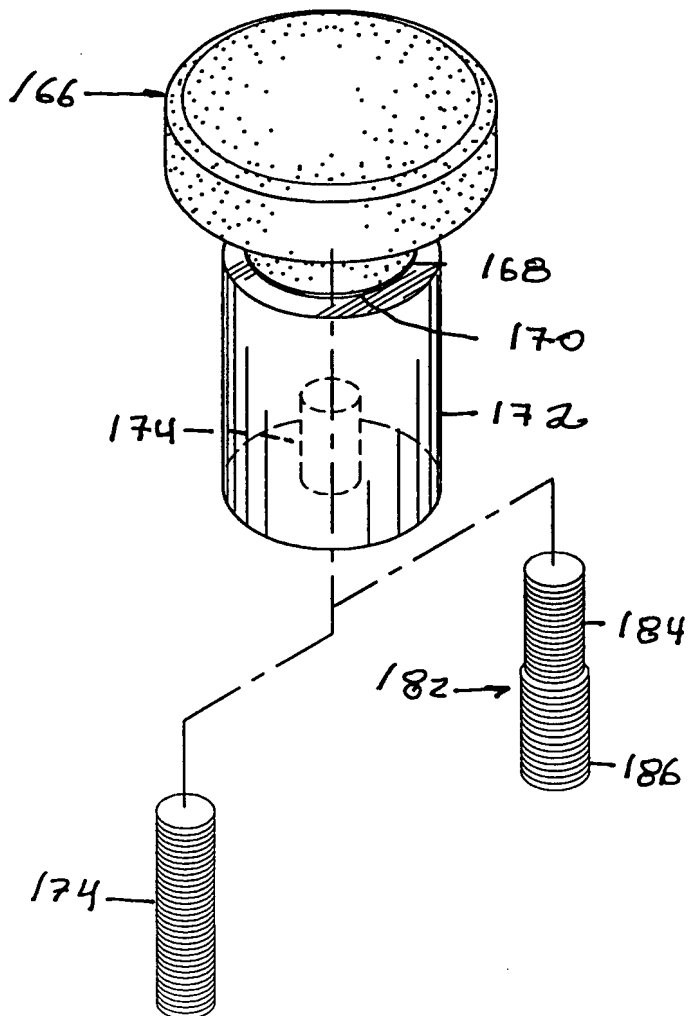


FIG. 16

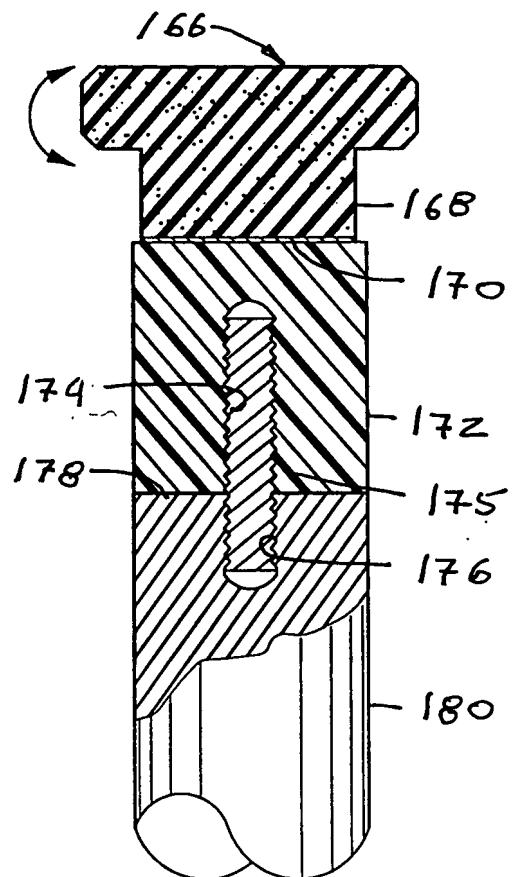


FIG. 17

## TIME ANALYSIS

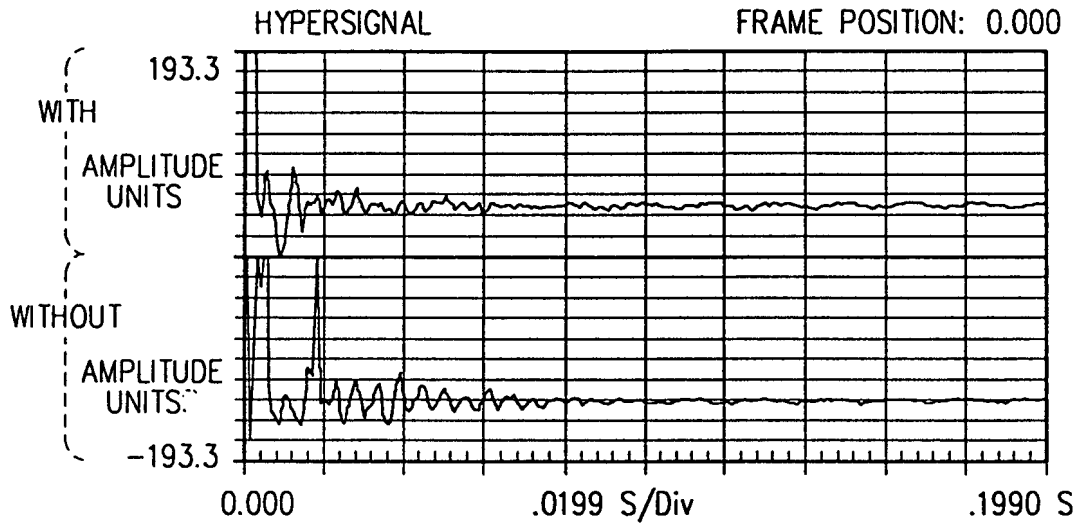


FIG. 18

## SPECTRAL ANALYSIS

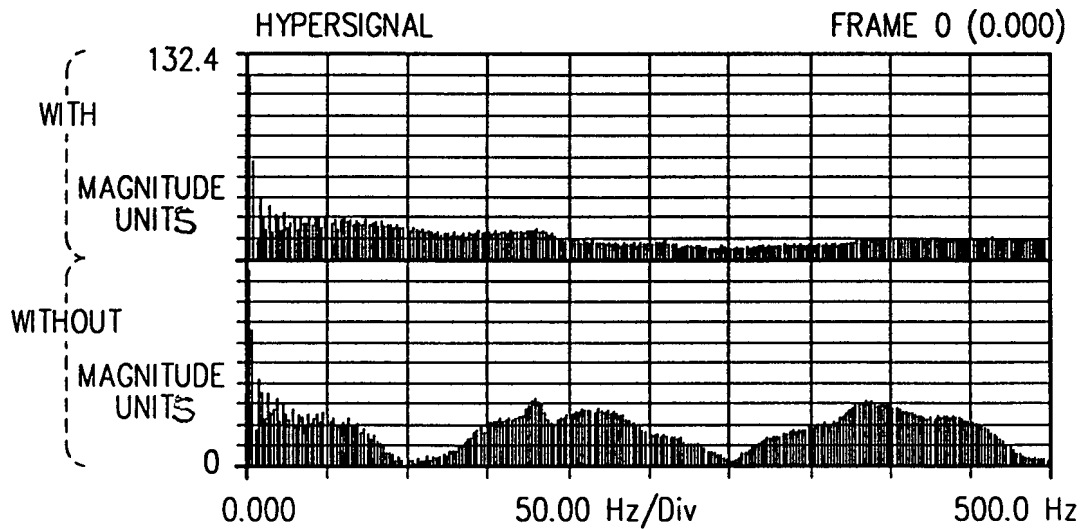


FIG. 19

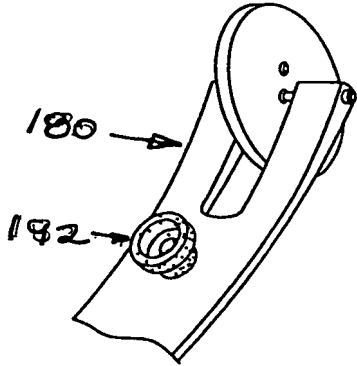


FIG. 20

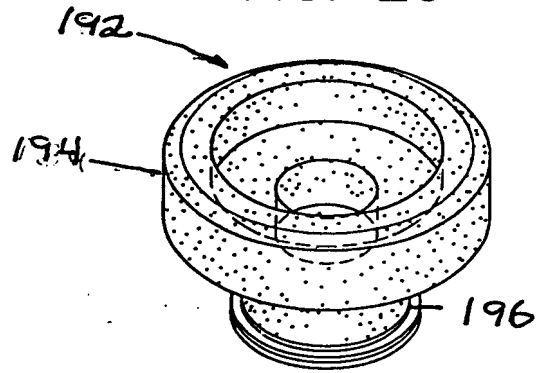


FIG. 21

